



دانشکده علوم

گروه آموزشی فیزیک

پایان نامه برای دریافت درجهی کارشناسی ارشد

در رشتهی فیزیک گرایش بنیادی

عنوان:

**استفاده از نکاشت‌های آشوبناک جفت شدهی همزمان در رمزنگاری**

استاد راهنما:

دکتر صدیف احدپور کلخوران

پژوهشگر:

نرجس مقصودی ولنی

تابستان ۱۳۹۵

نام خانوادگی دانشجو: مقصودی ولنی	نام: نرجس
عنوان پایان نامه: استفاده از نگاشت‌های آشوبناک جفت شده‌ی همزمان در رمزنگاری	
استاد راهنما: دکتر صدیف احدپور کلخوران	
مقطع تحصیلی: کارشناسی ارشد گرایش: بنیادی دانشکده: علوم	رشته: فیزیک دانشگاه: محقق اردبیلی تاریخ دفاع: ۱۳۹۵/۰۶/۲۹ تعداد صفحات: ۱۰۲
<p><b>چکیده:</b></p> <p>همزمان‌سازی آشوب به فرآیندی گفته می‌شود که در آن دو (یا چند) سیستم آشوبناک (مشابه یا نامشابه) یک خاصیت از حرکتشان را برای رسیدن به یک رفتار مشترک به واسطه‌ی جفت‌شدگی یا نیرو تنظیم می‌کنند. همزمان‌سازی آشوب روش‌های ارتباطات را تغییر داده است و مانند یک سیستم رمز کامل عمل می‌کند. همزمان‌سازی سیستم‌های آشوبناک جفت‌شده به بخش جدایی‌ناپذیر رمزنگاری تبدیل شده است. از آن‌جایی که همزمان‌سازی آشوب در لایه‌ی فیزیکی سیستم انتقال کار می‌کند، باعث حالت‌های سریع ارتباطات می‌شود. رمزنگاری مبتنی بر آشوب کاملاً از ویژگی‌های دینامیک آشوبناک استفاده می‌کند از جمله، دترمینیسم، ارگودیسیتی، غیرتناوبی بودن و وابستگی قوی به تغییرات کوچک در هر پارامتر سیستم. رمزنگاری آشوبناک در مقایسه با رمزنگاری سنتی دارای مزیت‌هایی شامل قابل اجرا بودن برای داده‌هایی با حجم بالا و قابلیت پیاده‌سازی در سخت‌افزار و نرم‌افزار، هزینه‌ی پایین و سرعت قابل توجه می‌باشد. یکی از اهداف در این پژوهش معرفی روش‌های استفاده از نگاشت‌های جفت شده آشوبناک همزمان برای ارتقاء امنیت می‌باشد.</p>	
کلیدواژه‌ها: آشوب، رمزنگاری، نگاشت جفت‌شده، همزمان‌سازی.	

فصل اول: سیستم‌های آشوبناک جفت شده

۱-۱-۱-۱	مقدمه	۲
۱-۲-۱	آشوب	۳
۱-۲-۱-۱	اثر پروانه‌ای	۳
۱-۳-۱	سیستم دینامیکی	۴
۱-۴-۱	مفاهیم اولیه در سیستم‌های دینامیکی غیرخطی	۵
۱-۴-۱-۱	نقاط ثابت	۵
۱-۴-۱-۲	دوشاخگی	۶
۱-۴-۱-۳	نمای لیاپانوف	۹
۱-۵-۱	جذب کننده‌ها	۱۱
۱-۶-۱	سیستم‌های آشوبناک	۱۱
۱-۶-۱-۱	نگاشت‌های جفتشده	۱۲
۱-۶-۱-۲	سیستم لورنتس	۱۳
۱-۶-۱-۳	سیستم لو	۱۵
۱-۶-۱-۴	سیستم لیو	۱۸
۱-۶-۱-۵	سیستم آشوبناک یونیفید	<b>Error! Bookmark not defined.</b>
۱-۶-۱-۶	سیستم آشوبناک چن	<b>Error! Bookmark not defined.</b>
۱-۶-۱-۷	سیستم آشوبناک جدید	<b>Error! Bookmark not defined.</b>
۱-۶-۱-۸	سیستم باز آمیخته	<b>Error! Bookmark not defined.</b>
۱-۷-۱	آشوب و رمزنگاری: بعد جدید در ارتباط امن	<b>Error! Bookmark not defined.</b>

فصل دوم: همزمان سازی سیستم‌های آشوبناک جفت شده

۱-۲-۱	مفهوم همزمان سازی آشوب	<b>Error! Bookmark not defined.</b>
۱-۲-۲	همزمان سازی سیستم لورنتس آشوبناک جفت شده	<b>Error! Bookmark not defined.</b>
۱-۲-۲-۱	همزمان سازی تاخیری تطبیقی سیستم آشوبناک لورنز با پارامترهای نامعلوم	<b>Error! Bookmark not defined.</b>
۱-۲-۲-۲	همزمان سازی تصویری	<b>Error! Bookmark not defined.</b>

**Error! Bookmark not defined.**.....۱-۳-۲- همزمان سازی تصویری دو جاذب آشوبناک یکسان لو  
**Error! Bookmark not defined.**.....۴-۲- همزمان سازی تصویری تابع تعمیم یافته.  
**Error! Bookmark not defined.**.....۱-۴-۲- GFPS برای سیستم آشوبناک لیو نامعلوم.  
**Error! Bookmark not defined.**.....۵-۲- همزمان سازی بین دو سیستم دینامیکی متفاوت  
**Error! Bookmark not defined.**.....۶-۲- همزمان سازی با استفاده از کنترل بازخورد خطی  
**Error! Bookmark not defined.**.....۷-۲- همزمان سازی سیستم باز آمیخته جفت شده با استفاده از کنترل بازخورد خطی .....  
**defined.**

### فصل سوم: کاربرد سیستم‌های جفت شده‌ی آشوبناک همزمان در ارتباطات امن و رمزنگاری

**Error! Bookmark not defined.**.....۱-۳- مقدمه  
**Error! Bookmark not defined.**.....۲-۳- رمزنگاری  
**Error! Bookmark not defined.**.....۱-۲-۳- روش رمزنگاری متقارن  
**Error! Bookmark not defined.**.....۲-۲-۳- روش رمزنگاری نامتقارن  
**Error! Bookmark not defined.**.....۳-۲-۳- انگشت‌نگاری دیجیتالی  
**Error! Bookmark not defined.**.....۳-۳- پنهان‌نگاری  
**Error! Bookmark not defined.**.....۴-۳- واترمارکینگ  
**Error! Bookmark not defined.**.....۵-۳- ارتباط امن با استفاده از همزمان سازی سیستم لورنتس  
**Error! Bookmark not defined.**.....۱-۵-۳- حالت بدون سیگنال اطلاعات  
**Error! Bookmark not defined.**.....۲-۵-۳-  $qt = A \sin(20\pi t)$  سیگنال اطلاعات  
**Error! Bookmark not defined.**.....۳-۵-۳-  $qt = 0.1 \sin(\pi t)$  سیگنال اطلاعات  
**Error! Bookmark not defined.**.....۶-۳- کاربرد همزمان سازی تابع تصویری در ارتباطات امن  
**Error! Bookmark not defined.**.....۷-۳- طرح ارتباط امن آشوبناک برپایه‌ی همزمان سازی تصویری تابع تعمیم یافته و مدولاسیون پارامتر .....  
**Error!**

### Bookmark not defined.

**Error! Bookmark not defined.**.....۸-۳- ارتباط امن با استفاده از سیستم آشوبناک لو  
**Error! Bookmark not defined.**.....۹-۳- سیستم رمز دو سیستم آشوبناک جفت شده‌ی همزمان  
**Error! Bookmark not defined.**.....۹-۳- رمزنگاری کلید عمومی  
**Error! Bookmark not defined.**.....۱-۹-۳- سیستم کلید عمومی  
**Error! Bookmark not defined.**.....۱۰-۳- سیستم رمز الجمل  
**Error! Bookmark not defined.**.....۱-۱۰-۳- پروتکل تبادل کلید دیفی- هلمن بر اساس سیستم آشوبناک همزمان .....  
**defined.**

**Error! Bookmark not defined.**.....۲-۱۰-۳- سیستم رمز الجمل  
 منابع و مأخذ ..... ۹۹

## فهرست جدول‌ها

شماره و عنوان مطالب	صفحه
جدول ۳-۱: روند یافتن بهترین مقدار $\alpha$ از اولین چرخه برای حالت بدون سیگنال اطلاعات.....	<b>Error! Bookmark not defined.</b>
جدول ۳-۲: روند یافتن بهترین مقدار $\beta$ از اولین چرخه برای حالت بدون سیگنال اطلاعات.....	<b>Error! Bookmark not defined.</b>
جدول ۳-۳: روند یافتن بهترین مقدار $\gamma$ از اولین چرخه برای حالت بدون سیگنال اطلاعات.....	<b>Error! Bookmark not defined.</b>
جدول ۳-۴: روند یافتن بهترین مقدار $\alpha$ از آخرین چرخه برای حالت بدون سیگنال اطلاعات.....	<b>Error! Bookmark not defined.</b>
جدول ۳-۵: روند یافتن بهترین مقدار $\beta$ از آخرین چرخه برای حالت بدون سیگنال اطلاعات.....	<b>Error! Bookmark not defined.</b>
جدول ۳-۶: روند یافتن بهترین مقدار $\gamma$ از آخرین چرخه برای حالت بدون سیگنال اطلاعات.....	<b>Error! Bookmark not defined.</b>
جدول ۳-۷: بهترین مقدار پارامترهای $\alpha$ ، $\beta$ و $\gamma$ در پایان هر چرخه برای حالت بدون سیگنال اطلاعات.....	<b>Error! Bookmark not defined.</b>
جدول ۳-۸: بهترین مقدار پارامترهای $\alpha$ ، $\beta$ و $\gamma$ بعد از چهار دوره برای حالت با سیگنال اطلاعات $A \sin(20\pi t)$ .....	<b>Error! Bookmark not defined.</b>
جدول ۳-۹: اختصاص اعداد به واحدهای پیام.....	<b>Error! Bookmark not defined.</b>

## فهرست شکل‌ها

شماره و عنوان مطالب	صفحه
شکل ۱-۱: دوشاخه شدگی زین اسبی (استروگتزر، ۱۹۹۴).....	۷
شکل ۲-۱: نمودار دو شاخه شدگی گذار بحرانی (استروگتزر، ۱۹۹۴).....	۷
شکل ۳-۱: دو شاخه شدن چنگالی (استروگتزر، ۱۹۹۴).....	۸
شکل ۴-۱: دو شاخه شدن چنگالی خیلی بحرانی (استروگتزر، ۱۹۹۴).....	۸
شکل ۵-۱: نمودار دو شاخه شدن چنگالی زیر بحرانی (استروگتزر، ۱۹۹۴).....	۹
شکل ۶-۱: نمودار دوشاخه شدن نگاهشت جفت شده، در شرایط و پارامترهای مختلف (گلباز، ۱۳۹۳).....	۱۳
شکل ۷-۱: حل سیستم لورنتس با شرایط اولیه ی (۰، ۱، ۰) (منبع: استروگتزر، ۱۹۹۴).....	۱۴
شکل ۸-۱: شکل اثر پروانه‌ای در سیستم لورنتس (منبع: استروگتزر، ۱۹۹۴: ۳۳۲).....	۱۵
شکل ۹-۱: نمودار فاز سیستم آشوبناک لو به ازای مقادیر $a=36, b=3, c=20$ (منبع: لو و همکاران، ۲۰۰۴).....	۱۷
شکل ۱۰-۱: نمودار دوشاخگی پیوسته هاوف سیستم (۱-۲۱)، $b=3$ (منبع: لو و همکاران، ۲۰۰۴).....	۱۸
شکل ۱۱-۱: نمودار رفتار دینامیکی سیستم (۱-۲۱)، $b=3$ (منبع: لو و همکاران، ۲۰۰۴).....	۱۸
شکل ۱۲-۱: جاذب آشوبناک سیستم لیو (منبع: لیو و همکاران، ۲۰۰۴).....	۱۹
شکل ۱۳-۱: طیف نمای لیاپانوف سیستم لیو (۱-۲۲) با $a=10, b=40, c \in [0, 8]$ (منبع: اکسو، ۲۰۱۱).....	۲۰
شکل ۱۴-۱: جاذب آشوبناک سیستم لیو (۱-۲۲) به ازای مقدر مختلف $c$ (منبع: اکسو، ۲۰۱۱).....	۲۰
شکل ۱۵-۱: تصویر فاز سیستم آشوبناک یونیفید (۱-۲۳) (منبع: لو و همکاران، ۲۰۰۴).....	<b>Error! Bookmark not defined.</b>
شکل ۱۶-۱: جاذب آشوبناک چن $a=35, b=3, c=28$ (منبع: لو و همکاران، ۲۰۰۴).....	<b>Error! Bookmark not defined.</b>

شکل ۱۷-۱: جاذب آشوبناک سیستم (۲۵-۱) (منبع: بالاس رامانیا و موتوکومار، ۲۰۱۴) **Error! Bookmark not defined.**

شکل ۱۸-۱: طیف نمای لیاپانوف سیستم (۲۵-۱) نسبت به تغییر پارامتر  $a$  (منبع: پهلپوان و وی، ۲۰۱۲).....۲۴

شکل ۱۹-۱: نمودار دوشاخگی سیستم (۲۵-۱) با تغییر پارامتر  $a$  در بازه  $1, 7$  (منبع: پهلپوان و وی، ۲۰۱۲) **Error! Bookmark not defined.**

شکل ۲۰-۱: نمودار دوشاخه شدگی متناظر حالت  $p$  بر حسب  $k$  (منبع: همت پور، ۱۳۹۲) **Error! Bookmark not defined.**

شکل ۱-۲: تحول خطای همزمانسازی ناخیری بین دو سیستم (۲-۶) و (۲-۷) **Error! Bookmark not defined.**

شکل ۲-۲: نتایج شناسایی پارامترهای سیستم پاسخ (۲-۷):  $a = 10, b = 83, c = 28$ . (منبع: چن و همکاران، ۲۰۱۲).....۴۱

شکل ۳-۲: مسیرهای  $ex, ey, ez$  از دو سیستم لو یکسان با کنترل بازخورد تطبیقی برای همزمان سازی تصویری با فاکتور مقیاس  $\alpha = 3$  (منبع: الاباسی و ال دوسوکی، ۲۰۱۰).....**Error! Bookmark not defined.**

شکل ۴-۲: مسیرهای  $ex, ey, ez$  از دو سیستم لو یکسان با کنترل بازخورد تطبیقی برای همزمان سازی تصویری با فاکتور مقیاس  $\alpha = 1$  (منبع: الاباسی و ال دوسوکی، ۲۰۱۰).....۴۵

شکل ۵-۲: مسیرهای  $ex, ey, ez$  از دو سیستم لو یکسان با کنترل بازخورد تطبیقی برای همزمان سازی تصویری با فاکتور مقیاس  $\alpha = -1$ . (منبع: الاباسی و ال دوسوکی، ۲۰۱۰).....۴۶

شکل ۶-۲: جاذب آشوبناک سیستم (۲-۴۹) (منبع: بانرجی و چودهاری، ۲۰۰۹) **Error! Bookmark not defined.**

شکل ۷-۲: نمودار فضای فاز سیستم (۲-۵۰) (منبع: بانرجی و چودهاری، ۲۰۰۹).....۵۴

شکل ۸-۲: جاذب متناظر با سیستم مرجع در طول همزمانسازی (منبع: بانرجی و چودهاری، ۲۰۰۹).....۵۶

شکل ۹-۲: جاذب مربوط به سیستم کمکی در حالت همزمان شده (منبع: بانرجی و چودهاری، ۲۰۰۹).....۵۶

شکل ۱۰-۲: بردارهای خطای رسم شده بر حسب زمان، نشان دهنده همزمان سازی (منبع: بانرجی و چودهاری، ۲۰۰۹).....۵۷

شکل ۱۱-۲: معادلات تخمین پارامتر بر حسب زمان (منبع: بانرجی و چودهاری، ۲۰۰۹).....۵۷

شکل ۱۲-۲: تغییرات زمانی سیستم خطا با استفاده از کنترل بازخورد خطی (منبع: بالاساب رامانیا، ۲۰۱۴) **Error! Bookmark not defined.**

شکل ۱۳-۲: تحول خطای همزمانسازی  $\Gamma(t)$  با استفاده از کنترل بازخورد خطی (منبع: بالاساب رامانیا، ۲۰۱۴).....۶۱

شکل ۱-۳: خطای  $x1 - y1$  بعد از چهار دور در حالت بدون سیگنال اطلاعات (منبع: یه و وو، ۲۰۰۸) **Error! Bookmark not defined.**

شکل ۲-۳: طیف فوریه  $x1(t)$  (منبع: یه و وو، ۲۰۰۸).....۷۷

شکل ۳-۳: خطای  $x1 - y1$  برای حالت  $0.5 \sin(20\pi t)$  بعد از چهار دور (منبع: یه و وو، ۲۰۰۸) **Error! Bookmark not defined.**

شکل ۴-۳: خطای  $x1 - y1$  برای حالت  $0.1 \sin(\pi t)$  بعد از چهار دور (منبع: یه و وو، ۲۰۰۸).....۷۹

شکل ۳-۵: طرح ارتباطی امن بر اساس همزمانسازی تابع تصویر (منبع: دو و همکاران، ۲۰۱۰)..... ۸۰

شکل ۳-۶: تصویر جاذبه‌ای همزمانشده در صفحه‌ی X-Y (منبع: دو و همکاران، ۲۰۱۰) **Error! Bookmark not defined.**

شکل ۳-۷: تحول زمانی  $e1$  و  $e2$  و تابع مقیاس  $\alpha(t)$  (منبع: دو و همکاران، ۲۰۱۰)..... ۸۳

شکل ۳-۸: تحول زمانی  $mg(t)$ ،  $m(t)$  و  $m(t) - mg(t)$  (منبع: دو و همکاران، ۲۰۱۰) **Error!**  
**Bookmark not defined.**

شکل ۳-۹: نمودار بلوکی طرح ارتباطات امن پیشنهادی (منبع: اکسو، ۲۰۱۱)..... ۸۴

شکل ۳-۱۰: جاذب آشوبناک سیستم (۸) با  $\beta = 0.5\sin 2t + 2.5$  (منبع: اکسو، ۲۰۱۱)..... ۸۶

شکل ۳-۱۱: نتایج شبیه‌سازی طرح ارتباط امن پیشنهادی با استفاده از GFPS و  $\beta = 0.5\sin t + 2.5$  (منبع: اکسو، ۲۰۱۱)..... ۸۷

شکل ۳-۱۲: مسیرهای حالت سیستم (۸) با  $\beta = 0.5\sin t + 4.5$  (منبع: اکسو، ۲۰۱۱) **Error! Bookmark not defined.**

شکل ۳-۱۳: نتایج شبیه‌سازی طرح ارتباط امن پیشنهادی با  $\beta = 0.5\sin t + 4.5$  (منبع: اکسو، ۲۰۱۱) **Error!**  
**Bookmark not defined.**

شکل ۳-۱۴: (a) مسیر  $e3$  از خطای سیستم با فاکتور مقیاس  $\alpha = 0.5$  (b) مسیر  $e3$  از خطای سیستم با فاکتور

مقیاس  $\alpha = -0.6$  (منبع: ال‌دوسوکی، ۲۰۱۰)..... **Error! Bookmark not defined.**

شکل ۳-۱۵: سیگنال درایو ارسال شده ی  $F_r(t)$  (منبع: بانرجی و چودھاری، ۲۰۰۹)..... ۹۲

شکل ۳-۱۶: سیگنال بازیابی شده در گیرنده  $F_R(t)$  (منبع: بانرجی و چودھاری، ۲۰۰۹) **Error! Bookmark not defined.**



# ۱ فصل اول

سیستم های آشوبناک جفت شده

## ۱-۱- مقدمه

مطالعه‌ی سیستم‌های دینامیکی از اواسط سال‌های ۱۶۰۰ میلادی آغاز شده است که این به دنبال کشف قوانین جاذبه و حرکت و معرفی معادلات دیفرانسیل توسط نیوتن<sup>۱</sup> و توجیه قوانین کپلر در مورد حرکت سیارات بر پایه‌ی آن‌ها بوده است. نیوتن به این روش مسئله‌ی دو جسم (حرکت زمین به دور خورشید) را حل کرد و نتیجه‌ی معروف این‌که نیروی جاذبه‌ی گرانشی متناسب با  $1/r^2$  (فاصله‌ی بین دو جسم است) می‌باشد، به دست آمد.

وقتی ریاضیدان‌ها و فیزیکدان‌ها خواستند این مسئله را به سه جسم تعمیم دهند مثلاً برای خورشید، زمین و ماه، متوجه شدند که حل این مسئله غیرممکن است. تا بالاخره در اواخر ۱۸۰۰ میلادی هانری پوانکاره به جای این‌که بخواهد مکان دقیق سیارات را در تمام زمان‌ها به دست آورد، مسئله‌ی پایداری یا ناپایداری سیستم خورشیدی را مطرح کرد و در مورد امکان بروز آشوب<sup>۲</sup> بحث کرد. تا اوایل قرن بیستم به این اظهار نظر در مورد آشوب اعتنایی نشد. زمانی آشوب مورد توجه قرار گرفت که مسائلی مانند نوسانگرهای غیر خطی و کاربرد آن‌ها در فیزیک و علوم مهندسی از جمله در: لیزر، رادار، رادیو و غیره مطرح شدند. در اواخر دهه ۱۹۵۰ میلادی به دنبال کشف کامپیوترهای با سرعت بالا، دانشمندان معادلاتی را که قبلاً نمی‌توانستند حل کنند، حل کردند و درک بهتری از سیستم‌های غیرخطی به دست آوردند.

ادوارد لورنتس<sup>۳</sup> در سال ۱۹۶۳ میلادی با معرفی حرکت آشوبناک در جاذب‌های عجیب کار مهمی در این زمینه انجام داد. بعدها افراد دیگری آثار تجربی آشوب را در سیال‌ها، اندرکنش‌های شیمیایی، مدارهای الکترونیکی، نوسانگرهای مکانیکی و نیمه رساناها بررسی کردند. در دهه‌ی ۱۹۷۰ میلادی دو

---

<sup>۱</sup>- Newton

<sup>۲</sup>- Chaos

<sup>۳</sup>- Edward Lorenz

شاخه‌ی دیگر در دینامیک معرفی شدند: ۱-فراکتال‌ها<sup>۱</sup> توسط مندل بروت: شکل‌های گرافیکی زیبایی که توسط کامپیوتر به دست آمده بود شامل می‌شد. ۲- در حوزه‌ی بیولوژی- ریاضی کاربرد داشت و توسط وینفری مطرح شد: نوسانگرهای غیرخطی را در بیولوژی به کار برد.

## ۱-۲- آشوب

آشوب یا بی‌نظمی، یک رفتار طولانی مدت غیرتناوبی در یک سیستم معین است؛ که وابستگی حساس به شرایط اولیه را داراست. رفتار طولانی غیرتناوبی به این معنی است که، وقتی در سیستم‌های دینامیکی زمان به سمت بی‌نهایت میل می‌کند، مسیر این سیستم‌ها به نقاط ثابت منتهی نمی‌شود و معین بودن سیستم به معنی تصادفی نبودن پارامترها یا شرایط اولیه است. سیستم‌های آشوبناک، حساس به شرایط اولیه هستند و این تفاوت اصلی این سیستم‌ها و سیستم‌های غیرآشوبناک است. سیستم‌های دینامیکی غیرآشوبناک رفتاری تناوبی، اما سیستم آشوبناک هیچ تناوب غالبی ندارد و دوره‌ی تناوبش بی‌نهایت است.

## ۱-۲-۱- اثر پروانه‌ای

عبارت اثر پروانه‌ای در پی مقاله‌ای از ادوارد لورنتس به وجود آمده است. او در اجلاس IES<sup>۲</sup> در سال ۱۹۷۲ مقاله‌ای را با این عنوان ارائه داد که آیا بال زدن پروانه‌ای در برزیل می‌تواند باعث ایجاد تندباد در تگزاس شود؟ لورنتس در حال تحقیق روی ریاضیات بسیار ساده‌ای از آب و هوای زمین، به یک معادله دیفرانسیل غیر قابل حل رسید. وی برای حل این معادله به روش‌های عددی با رایانه متوسل شد. او برای این که بتواند این کار را در روزهای متوالی انجام دهد، نتیجه‌ی آخرین خروجی یک روز را به عنوان شرایط اولیه‌ی روز بعد وارد می‌کرد. لورنتس در نهایت مشاهده کرد که نتیجه‌ی شبیه سازی‌های مختلف با شرایط اولیه‌ی یکسان با هم کاملاً متفاوت است. بررسی خروجی چاپ شده رایانه نشان داد که رویال

<sup>۱</sup>- Fractals

<sup>۲</sup>- Institute of Education Science

مکعب<sup>۱</sup>، رایانه‌ای که لورنتس از آن استفاده می‌کرد، خروجی را تا چهار رقم اعشار گرد می‌کند. از آنجایی که محاسبات داخل این رایانه با شش رقم اعشار صورت می‌گرفت، از بین رفتن دو رقم آخر باعث چنین تاثیری شده بود. مقدار تغییرات در عمل گرد کردن نزدیک به اثر بال زدن یک پروانه است. مشاهدات لورنتس باعث پررنگ شدن مبحث نظریه‌ی آشوب شد.

اثر پروانه‌ای در واقع بیانگر رد روابط خطی بین علت و معلول و تایید غیر خطی بودن روابط در پدیده‌ها و سیستم‌ها می‌باشد. به این معنی که یک تغییر جزئی در شرایط اولیه می‌تواند به نتایج وسیع و پیش‌بینی نشده در سیستم منجر گردد.

### ۱-۳- سیستم دینامیکی

محیط عمل پدیده‌ی آشوب، سیستم‌های دینامیکی است. یک سیستم دینامیکی شامل یک فضای فاز مجرد یا حالت فازی است که مختصاتش، حالت دینامیکی سیستم را با به‌کارگیری قوانین دینامیکی مشخص می‌کند. یک سیستم دینامیکی می‌تواند منظم یا آشوبناک باشد.

عنوان سیستم دینامیکی به سیستم‌هایی نسبت داده می‌شود که در گذر زمان دستخوش تحول می‌شوند. بنابراین یک سیستم دینامیکی را می‌توان توسط سه پارامتر زمان، حالت‌ها و قاعده‌هایی که نشان دهنده‌ی نحوه‌ی تحول این حالت‌ها می‌باشد، شکل داد (بوچارا<sup>۲</sup>، ۲۰۰۴).

این سیستم‌ها به دو دسته تقسیم می‌شوند: سیستم دینامیکی خطی و سیستم دینامیکی غیر خطی.

سیستم‌های دینامیکی غیر خطی به دو شکل مورد مطالعه قرار می‌گیرند:

۱. به وسیله‌ی معادله‌ی دیفرانسیل؛ در صورتی که تحول سیستم نسبت به زمان پیوسته باشد.

---

<sup>۱</sup>- Royal MCBee

<sup>۲</sup>- Boccara

۲. به وسیله‌ی نگاشت‌های تکرار؛ در صورتی که تحول سیستم نسبت به زمان گسسته باشد. نگاشت لوجستیک یکی از مشهورترین و پر کاربردترین این نگاشت‌ها، در حوزه‌ی دینامیک غیرخطی است.

نگاشت‌های آشوبناک مختلفی در رمزنگاری، پنهان‌نگاری و پنهان‌نگاری کاربرد دارند. از این سیستم‌ها برای مطالعه‌ی بسیاری از علوم از جمله: فیزیک، نجوم، ریاضیات، بیولوژی، شیمی، اقتصاد، هواشناسی و... استفاده می‌شود.

### ۱-۴- مفاهیم اولیه در سیستم‌های دینامیکی غیرخطی

وقتی ابعاد فضای فاز از  $n=1$ ، افزایش یابد، در هر مرحله، پدیده‌های جدیدی اتفاق می‌افتد که می‌توان به نقاط ثابت در سیستم‌های یک بعدی ( $n=1$ ) و دو شاخه شدن در سیستم‌های دو بعدی ( $n=2$ ) و آشوب در سیستم‌های سه بعدی ( $n=3$ ) اشاره کرد. این مفاهیم در ادامه مورد بررسی قرار می‌گیرند.

#### ۱-۴-۱- نقاط ثابت

نقاط ثابت در بررسی رفتار نگاشت‌ها از اهمیت خاصی برخوردار است و بر اساس آن می‌توان نحوه‌ی تحول سیستم را درک کرد. در تعریف نقطه‌ی ثابت می‌توان گفت که هر نقطه از مدار یک نگاشت که شرط زیر در آن صدق کند نقطه‌ی ثابت مدار به شمار می‌آید (استروگتز<sup>۱</sup>، ۱۹۹۴).

$$F(x^*) = x^* \quad (1-1)$$

از دید هندسی هم می‌توان به این طریق نقطه‌ی ثابت را توصیف کرد که: «نقطه‌ی ثابت نقطه‌ای است که از تقاطع خط  $y = x$  و منحنی  $y = F(x)$  به وجود می‌آید».

---

<sup>۱</sup>- Strogatz

برای به دست آوردن نقاط ثابت یک سیستم پیوسته، تابع را برابر صفر قرار می‌دهیم  $(f(\tilde{x})=0)$ ؛ همچنین برای به دست آوردن نقاط ثابت در سیستم گسسته، تابع را برابر  $\tilde{x}$  قرار می‌دهیم  $(f(\tilde{x}) = \tilde{x})$ . نقاط ثابت را بر حسب پایداری، می‌توان به چهار دسته تقسیم کرد:

۱. اگر شرط  $|f'(x)| < 0$  برقرار باشد، آنگاه با افزایش زمان (تکرار)، به نقطه‌ی ثابت میل می‌کند؛ که به آن نقطه‌ی ثابت پایدار می‌گویند.

۲. اگر شرط  $|f'(\tilde{x})| > 0$  برقرار باشد، آنگاه این نقطه‌ی ثابت، ناپایدار خواهد بود.

۳. در صورتی که  $|f'(\tilde{x})| = 1$  باشد، نقطه‌ی ثابت پایدار حاشیه‌ای خواهد بود.

۴. نقاط ثابتی که در آن‌ها شرط  $|f'(\tilde{x})| = 0$  برقرار باشد، فوق پایدار گویند.

## ۱-۴-۲- دوشاخگی

در سیستم‌های دینامیکی، نقاط ثابت می‌توانند خلق یا نابود شوند یا تغییر ماهیت دهند (پایداری آن‌ها تغییر کند یا از نوع جاذب به دافع یا برعکس تبدیل شوند). شروع تغییرات در رفتار نقاط ثابت، دو شاخه شدگی نامیده می‌شود. گذار به حالت دو شاخه شدگی با تغییر کمیتی به نام پارامتر کنترل دو شاخه شدگی صورت می‌گیرد. تغییر رفتار سیستم‌های دینامیکی را بر اساس این که پارامتر کنترل می‌تواند مثبت، منفی یا صفر باشد در سه گروه زیر می‌توان طبقه بندی کرد:

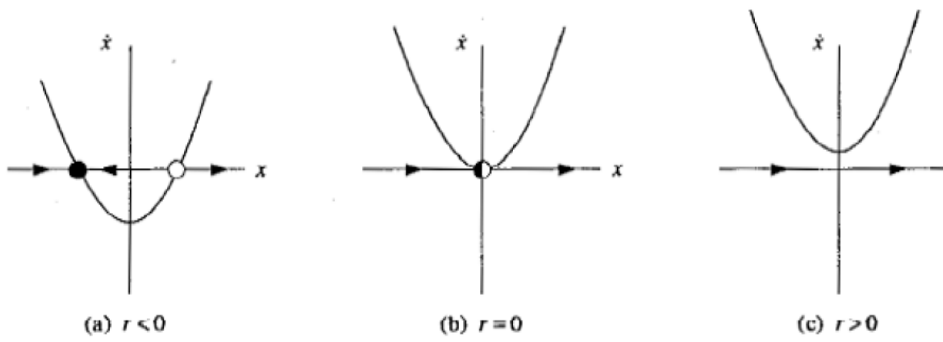
### • دو شاخگی زینی:

این نوع دو شاخه شدگی به وسیله‌ی خلق یا نابودی نقاط ثابت معلوم می‌گردد و در نگاشت‌هایی که از یکی از ضابطه‌های زیر تبعیت می‌کنند رخ می‌دهد:

$$\dot{x} = r + x^2 \quad (2-1)$$

$$\dot{x} = r - x^2$$

به عنوان نمونه، نمودار مربوط به معادله‌ی اول به ازای مقادیر مختلف پارامتر در شکل (۱-۱) رسم می‌گردد. نقاط توپر بیانگر نقاط ثابت پایدار، نقاط توخالی بیانگر نقاط ثابت ناپایدار و نقاط نیمه پر بیانگر حالت نیمه پایدار می‌باشند. از آن جا که در شکل میدان‌های برداری برای  $r < 0$  و  $r > 0$  متفاوت هستند، دوشاخه شدن در  $r = 0$  رخ می‌دهد.



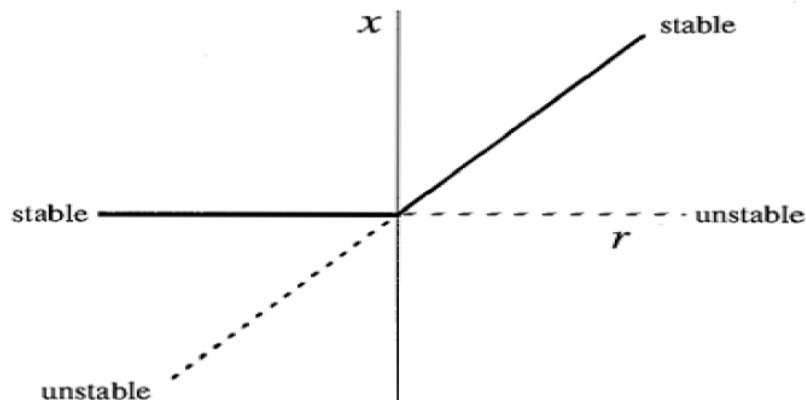
شکل ۱-۱: دوشاخه شدگی زین اسبی (استروگتز، ۱۹۹۴)

• دو شاخه شدن گذار بحرانی:

در این نوع دوشاخه شدگی هرگز شاهد خلق یا نابودی نقاط ثابت سیستم نیستیم بلکه، با تغییر پارامتر کنترل، فقط نوع پایداری آن‌ها تغییر می‌کند. ضابطه‌ی کلی سیستمی که این دوشاخه شدگی را نشان می‌دهد، به صورت زیر است:

$$\dot{x} = rx - x^2 \quad (۳-۱)$$

در شکل (۲-۱) این معادله را برای  $r$  های مختلف رسم می‌کنیم که یک نقطه‌ی ثابت در  $x^* = 0$  برای تمام مقادیر  $r$  دیده می‌شود.



شکل ۲-۱: نمودار دو شاخه شدگی گذار بحرانی (استروگتز، ۱۹۹۴)

• دوشاخگی چنگالی:

در بسیاری از مسائل فیزیکی تقارن فضایی بین چپ و راست وجود دارد. دو شاخه شدگی چنگالی در این مسائل دیده می‌شود. این حالت دارای معادله‌ای به یکی از دو صورت زیر است:

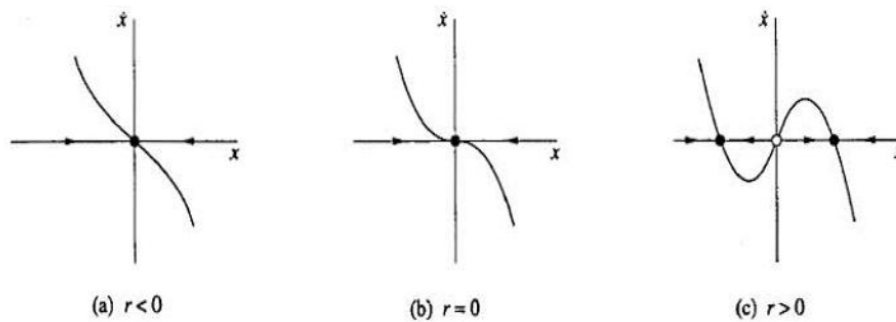
حالت اول، دوشاخه شدگی چنگالی خیلی بحرانی نامیده می‌شود و معادله‌ی آن به صورت زیر است:

$$\dot{x} = rx - x^3 \quad (4-1)$$

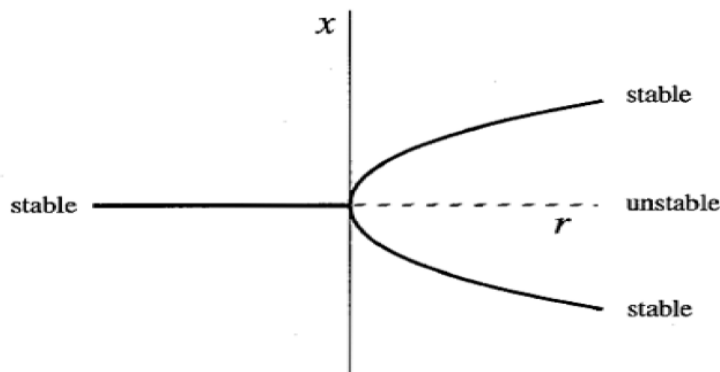
این معادله تحت تبدیل  $x \rightarrow -x$  ناوردا می‌باشد. این ناوردایی، بیان ریاضی تقارن چپ و راست می‌باشد.

باشد. به عنوان نمونه، نمودار مربوط به معادله‌ی (4-1) به همراه نمودار دوشاخه شدگی به صورت زیر

رسم می‌شود:



شکل ۳-۱: دو شاخه شدن چنگالی (استروگتزر، ۱۹۹۴)



شکل ۴-۱: دو شاخه شدن چنگالی خیلی بحرانی (استروگتزر، ۱۹۹۴)

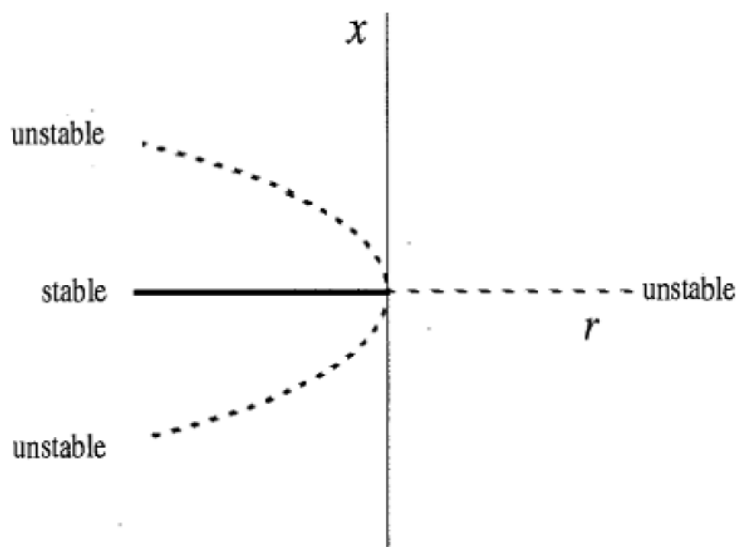


در نمودار (۴-۱) وقتی  $r < 0$  است مبدا، تنها نقطه‌ی ثابت (پایدار) است. وقتی  $r = 0$  است مبدا هنوز پایدار بوده اما خیلی ضعیف است (این یک حالت بحرانی است). بالاخره وقتی  $r > 0$  است مبدا ناپایدار بوده و دو نقطه‌ی ثابت پایدار در  $x^* = \pm\sqrt{r}$  ظاهر می‌شود.

حالت دوم، دو شاخه شدگی چنگالی زیر بحرانی بوده و با معادله‌ی زیر مشخص می‌شود:

$$\dot{x} = rx + x^3 \quad (۵-۱)$$

نمودار دو شاخه شدن چنگالی زیر بحرانی در شکل زیر نشان داده شده است:



شکل ۵-۱: نمودار دو شاخه شدن چنگالی زیر بحرانی (استروگتز، ۱۹۹۴)

### ۱-۴-۳- نمای لیاپانوف

نمای لیاپانوف توسط ریاضیدان روسی لیاپانوف<sup>۱</sup> در سال ۱۸۹۲ میلادی برای کنترل پایداری معادلات دیفرانسیل غیر خطی مورد استفاده قرار گرفت. این روش امکان مطالعه‌ی پایداری معادلات دیفرانسیل را بدون حل آن‌ها امکان‌پذیر می‌سازد. با توجه به این‌که برای مطالعه‌ی سیستم‌های دینامیکی

<sup>۱</sup>- Lyapanov

غیر خطی باید آن‌ها را توسط نگاشت‌ها مورد بررسی قرار دهیم، به توصیف نمای لیاپانوف که مطالعه‌ی رفتار سیستم‌ها توسط نگاشت را به صورت عددی میسر می‌سازد پرداخته می‌شود.

برای این که یک سیستم را بی‌نظم بنامیم باید نشان دهیم که سیستم وابستگی حساس به شرایط اولیه دارد، یعنی این که دو مسیر که خیلی نزدیک به هم شروع می‌شوند، خیلی سریع به طور نمایی از هم واگرا شده و آینده‌ی متفاوتی پیدا می‌کنند (استفانسکی<sup>۱</sup> و همکاران، ۲۰۰۵). همان‌طور که گفته شد، وابستگی حساس معادلات دیفرانسیل بی‌نظم، با نمای لیاپانوف تعریف می‌گردد، حال این تعریف را برای نگاشت‌های یک بعدی بسط می‌دهیم.

فرض می‌کنیم  $x_0$  نقطه‌ای در لحظه‌ی  $t$  در روی یک مسیر و  $x_0 + \delta_0$  نقطه‌ای نزدیک به آن در روی مسیر دیگر باشد که  $\delta_0$  بی‌نهایت کوچک بوده و معرف میزان اولیه‌ی جدایی این دو نقطه است. اگر میزان جدایی این دو نقطه بعد از  $n$  تکرار توسط  $\delta_n$  نمایش داده شود، رابطه‌ای به صورت معادله‌ی زیر مابین دو نقطه برقرار است:

$$|\delta_n| = |\delta_0| e^{n\lambda}, \quad (6-1)$$

در این صورت می‌توان  $\lambda$  را به عنوان نمای لیاپانوف معرفی کرد.

با مثبت شدن نمای لیاپانوف (مقدار  $\lambda$ ) فاصله‌ی دو نقطه به صورت نمایی افزایش می‌یابد، یعنی سیستم به سمت آشوبناک شدن میل پیدا می‌کند. با منفی شدن مقدار  $\lambda$ ، نقطه‌ی ثابت رفتار پایداری از خود نشان می‌دهد، یعنی سیستم به حالت پایدار می‌رسد. شرط  $\lambda=0$ ، بیانگر حالت حاشیه‌ای است.

محاسبه‌ی فرمول نمای لیاپانوف:

با توجه به این که  $\delta_n = f^n(x_0 + \delta_0) - f^n(x_0)$ ، به دست می‌آوریم:

$$\lambda = \frac{1}{n} \ln \left| \frac{f^n(x_0 + \delta_0) - f^n(x_0)}{\delta_0} \right| = \frac{1}{n} \ln \dot{f}^n(x_0), \quad (7-1)$$

عبارت داخل لگاریتم را به وسیله‌ی قانون زنجیره‌ای بسط می‌دهیم:

$$\dot{f}^n(x_0) = \prod_{i=0}^{n-1} \dot{f}(0), \quad (8-1)$$

<sup>۱</sup>- Stefanski

پس داریم:

$$\lambda = \frac{1}{n} \ln |\prod_{i=0}^{n-1} \dot{f}(0)| = \frac{1}{n} \sum \ln |\dot{f}(0)|, \quad (9-1)$$

که اگر  $n \rightarrow \infty$ ، این معادله به صورت معادله‌ی زیر نوشته می‌شود که بیانگر نمای لیاپانوف است.

$$\lambda = \lim_{n \rightarrow \infty} \left\{ \frac{1}{n} \sum_{i=0}^{n-1} \ln |\dot{f}(0)| \right\}, \quad (10-1)$$

برای نقاط پایدار و مدارهای پایدار،  $\lambda < 0$  و برای جاذب‌های آشوبناک  $\lambda > 0$  است.

## ۱-۵- جذب کننده‌ها

یک جذب کننده<sup>۱</sup> مجموعه‌ای از تمام مسیرهایی است که به سمت یک نقطه‌ی ثابت، حلقه‌ی محدود یا ... همگرا می‌شوند. نوع دیگری از جذب کننده‌ها وجود دارند که آن‌ها را جذب کننده‌های عجیب<sup>۲</sup> می‌نامند. جذب کننده‌های عجیب به شدت به شرایط اولیه حساس هستند و به آن‌ها عجیب گفته می‌شود چون متشکل از مجموعه‌ای از فراکتال‌ها است.

## ۱-۶- سیستم‌های آشوبناک

با رشد اینترنت، برنامه‌های کاربردی برای ارتباطات دیجیتال امروزی ساخته شد. محرمانه بودن این ارتباط دیجیتال در اکثر مواقع امری ضروری است. رمزنگاری ابزار مهمی برای محرمانه کردن و اختصاصی کردن اطلاعات محرمانه می‌باشد. نگاشت‌های آشوبناک دارای خواص حساس بودن به شرایط اولیه و پارامتر کنترل، غیرقابل پیش‌بینی بودن، ارگودیسیتی و غیره هستند. همه‌ی این خواص آن‌را مناسب برای طراحی بسیاری از روش‌های رمزنگاری کرده است. از نگاشت آشوبناک برای جاسازی اطلاعات محرمانه، در یک فضای تصادفی از عناصر سازنده‌ی فایل پوشش به کار می‌رود. در این فصل به

<sup>۱</sup> - Attractors

<sup>۲</sup> - Strange attractors

معرفی نگاشت‌های جفت‌شده و هم‌چنین سیستم‌های آشوبناک می‌پردازیم و در فصل‌های بعدی به هم‌زمان‌سازی و کاربرد آن‌ها در سیستم‌های ارتباط امن خواهیم پرداخت.

### ۱-۶-۱- نگاشت‌های جفت‌شده

تفاوت این نگاشت با نگاشت‌های دیگر، وجود پارامتر جفت‌شدگی در معادله‌ی آن است. معادله‌ی آن

به‌صورت زیر نشان داده می‌شود؛

$$\begin{cases} X_{k+1} = [(1 - \varepsilon)f_1(x_{m+1}) + \varepsilon f_2(y_{m+1}) \\ Y_{k+1} = [(1 - \varepsilon)f_1(y_{m+1}) + \varepsilon f_2(x_{m+1}) \end{cases} \quad (11-1)$$

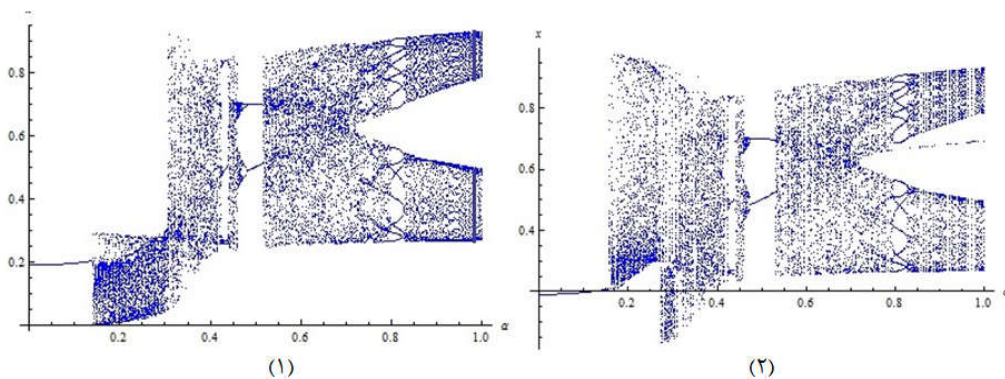
در معادله‌ی (۱۱-۱)،  $\varepsilon$  پارامتر جفت‌شدگی در بازه‌ی  $(0 \leq \varepsilon \leq 1)$ ، مقادیر اولیه نیز در بازه‌ی

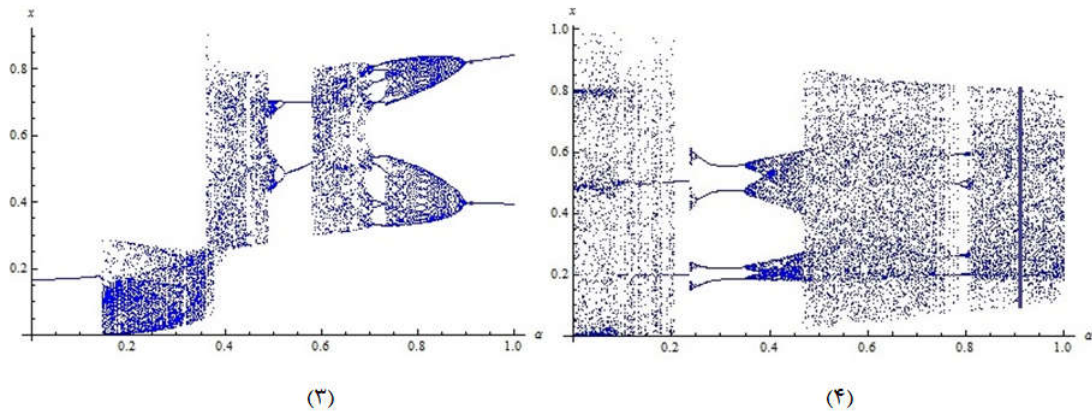
$(0 \leq x \leq 1)$  و  $(0 \leq y \leq 1)$  هستند؛ همچنین پارامترهای کنترل به‌ترتیب در بازه‌ی  $(0 \leq \alpha \leq 1)$  و

$(0 \leq \beta \leq 2)$ ، قرار دارند، (بهنیا و همکاران، ۲۰۱۴). توابع  $f_1$  و  $f_2$  نیز به‌صورت زیر تعریف می‌شوند؛

$$\begin{aligned} f_1(x_{m+1}) &= \frac{\alpha^2 4x_m(1 - x_m)}{1 + (\alpha^2 - 1)4x_m(1 - x_m)} \\ f_2(y_{m+1}) &= \frac{\beta^2(2y_m - 1)^2}{4y_m(1 - y_m) + \beta^2(2y_m - 1)^2} \end{aligned} \quad (12-1)$$

نمودار دوشاخه‌شدگی این نگاشت به‌صورت شکل (۶-۱) خواهد بود.





شکل ۱-۶: نمودار دوشاخه شدن نگاشت جفت شده، در شرایط و پارامترهای مختلف (گلباز، ۱۳۹۳)

در شکل (۱-۶)، نمودارهای دوشاخه شدن برای شرایط و پارامترهای مختلف نشان داده شده است. در تصویر (۱)، نمودار با شرایط اولیه  $(0, 1, 0, 5)$  و  $\beta = 1, 67$  و همچنین ثابت جفت شدگی  $\epsilon = 0, 3$ ، نشان داده شده است؛ در تصویر (۲)، شرایط اولیه را به  $(0, 3, 0, 7)$  تغییر داده ایم و پارامترهای دیگر با تصویر (۱) برابر است. در تصویر (۳)،  $\beta = 1, 25$  و متغیرهای دیگر با تصویر (۱) برابر است؛ در تصویر (۴)،  $\epsilon = 0, 8$  و متغیرهای دیگر با تصویر (۱) برابر است.

### ۱-۶-۲ - سیستم لورنتس

مطالعه‌ی خود در زمینه‌ی سیستم‌های آشوبناک را با معادلات لورنتس آغاز می‌کنیم (استروگتس،

۱۹۹۴):

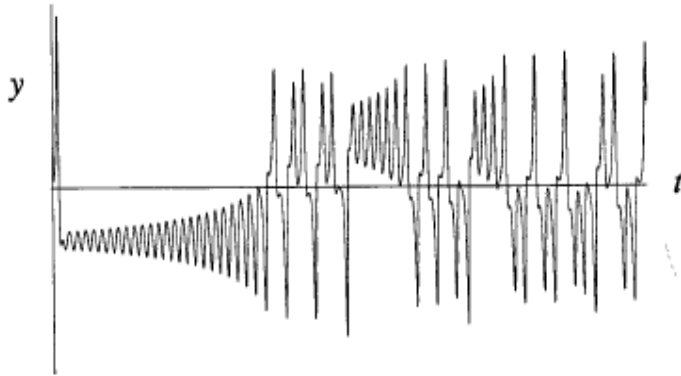
$$\begin{cases} \dot{x} = \sigma(y - x) \\ \dot{y} = rx - y - xz \\ \dot{z} = xy - bz \end{cases} \quad (13-1)$$

در این معادلات،  $\sigma$ ،  $r$  و  $b$  پارامترهای مثبت هستند. ادوارد لورنتس در سال ۱۹۶۳ این سیستم سه بعدی را از یک مدل کاملاً ساده شده از همرفت در جو به دست آورد. لورنتس دریافت که این سیستم به ظاهر ساده‌ی دترمینیستیک می‌تواند دینامیک به شدت نامنظمی داشته باشد: روی محدوده‌ی گسترده‌ای از پارامترها، حل این سیستم به طور نامنظمی نوسان می‌کند، هرگز دقیقاً تکرار نمی‌شود اما همیشه در ناحیه‌ی محدودی از فضای فاز باقی خواهد ماند. هنگامی که وی مسیرها را در سه بعد رسم کرد دریافت

که به یک مجموعه‌ی پیچیده ختم خواهد شد که اکنون جاذب آشوبناک نامیده می‌شود. بر خلاف نقاط ثابت پایدار یا چرخه‌های محدود، جاذب آشوبناک یک نقطه یا منحنی یا حتی یک سطح نیست بلکه یک فراکتال با بعد فراکتالی بین ۲ و ۳ می‌باشد. در معادلات لورنتس  $\sigma$  عدد پرانتل<sup>۱</sup>،  $r$  عدد ریلی<sup>۲</sup> و  $b$  نامگذاری نشده اما در مسئله‌ی همرفت به ارتفاع لایه‌ی شاره مرتبط می‌باشد (لورنتس، ۱۹۶۳).

سیستم لورنتس (۱-۱۳) دو نوع نقطه‌ی ثابت دارد. مبدا  $(x^*, y^*, z^*) = (0, 0, 0)$  برای تمام مقادیر پارامترها نقطه‌ی ثابت می‌باشد. برای مقادیر  $r > 1$ ، یک جفت نقطه ثابت پایدار  $x^* = y^* = z^* = r - 1, \pm \sqrt{b(r-1)}$  وجود دارد که لورنز آن‌ها را به ترتیب  $C^+$  و  $C^-$  نامید. هنگامی که  $r \rightarrow 1^+$  میل کند، این دو مقدار در مبدا با یکدیگر ادغام شده و دو شاخه‌شدگی چنگالی خواهیم داشت.

لورنتس محاسبات عددی برای مشاهده‌ی رفتار طولانی مدت سیستم را انجام داد. وی حالت خاص  $\sigma = 10$ ،  $r = 28$  و  $b = 8/3$  را مطالعه کرد. وی محاسبات را از شرط اولیه‌ی  $(0, 1, 0)$ ، نزدیک به یک نقطه‌ی زینی در مبدا آغاز کرد. شکل (۷-۱) حل حاصل را برای  $y(t)$  رسم می‌کند.

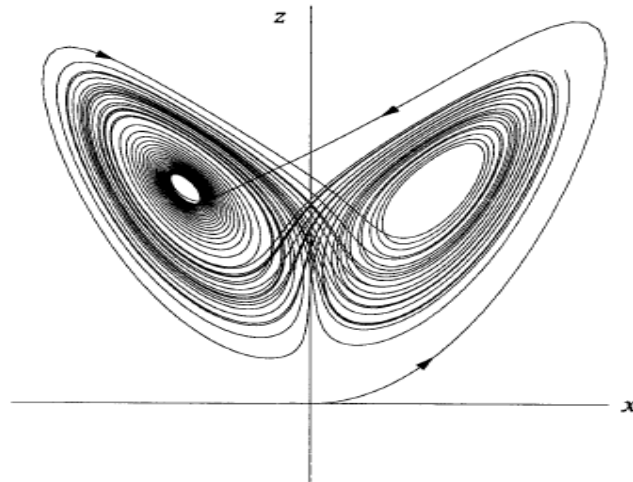


شکل ۷-۱: حل سیستم لورنتس با شرایط اولیه‌ی  $(0, 1, 0)$  (منبع: استروگتس، ۱۹۹۴)

<sup>۱</sup>- Prandtl

<sup>۲</sup>- Rayleigh

بعد از یک گذار اولیه، حل این مسئله وارد نوسانات نامنظمی می‌شود که با میل زمان به بی‌نهایت ( $t \rightarrow \infty$ )، ادامه خواهد یافت، اما هرگز به طور دقیق تکرار نمی‌شود. این حرکت نامتناوب می‌باشد. هنگامی که  $x(t)$  بر حسب  $z(t)$  رسم شود یک الگوی پروانه‌ای ظاهر می‌شود که در شکل (۸-۱) مشاهده می‌کنید.



شکل ۸-۱: شکل اثر پروانه‌ای در سیستم لورنتس (منبع: استروگتز، ۱۹۹۴)

### ۱-۶-۳- سیستم لو

بعد از مطالعه‌ی سیستم لورنتس، بسیاری از سیستم‌های مرتبط با آن (که معمولاً لورنتس‌گونه نامیده می‌شوند) مورد مطالعه قرار گرفته‌اند. از بین این سیستم‌های مورد مطالعه سیستم لو<sup>۱</sup> توجه بسیاری به خود جلب کرده است. سیستم لو یک سیستم گذار نوعی است که جاذب‌های چن<sup>۲</sup> و لورنتس را مرتبط می‌سازد و گذار از یکی به دیگری را نشان می‌دهد. در این بخش توصیف مختصری از روش پیش‌نهادی در (چن و یوتا<sup>۳</sup>، ۲۰۰۰)، که منجر به پیدا کردن این جاذب آشوبناک گردید ارائه می‌دهیم.

<sup>۱</sup> - Lu

<sup>۲</sup> - Chen

<sup>۳</sup> - Ueta

با سیستم کنترل شده لورنتس شروع می‌کنیم:

$$\begin{cases} \dot{x} = a(y - x) \\ \dot{y} = cx - xz - y + u \\ \dot{z} = xy - bz \end{cases} \quad (14-1)$$

که  $a, b, c$  ثابت‌هایی هستند که در حال حاضر در محدوده آشوب نمی‌باشند و  $u$  کنترل کننده

بازخورد غیرخطی است که به شکل زیر تعریف می‌شود:

$$u = l_1 x + l_2 y + l_3 z \quad (15-1)$$

$l_1, l_2, l_3$  مقادیر ثابتی هستند که باید تعیین شوند. ژاکوبین سیستم کنترل شده محاسبه شده

در نقطه  $(x_0, y_0, z_0)$  شده است:

$$J(x, y, z) = \begin{pmatrix} \frac{\partial f_1}{\partial x} & \frac{\partial f_1}{\partial y} & \frac{\partial f_1}{\partial z} \\ \frac{\partial f_2}{\partial x} & \frac{\partial f_2}{\partial y} & \frac{\partial f_2}{\partial z} \\ \frac{\partial f_3}{\partial x} & \frac{\partial f_3}{\partial y} & \frac{\partial f_3}{\partial z} \end{pmatrix} \quad (16-1)$$

$$J(x_0, y_0, z_0) = \begin{pmatrix} -a & a & 0 \\ c + l_1 - l_0 & l_2 - 1 & l_3 - x_0 \\ y_0 & x_0 & b \end{pmatrix} \quad (17-1)$$

برای پیدا کردن تعادل سیستم (14-1) - (15-1)، اجازه دهید:

$$\frac{dx}{dt} = \frac{dy}{dt} = \frac{dz}{dt} = 0 \quad (18-1)$$

واضح است اگر  $l_3^2 + 4b(c + l_1 + l_2 - 1) > 0$ ، آن‌گاه سه نقطه‌ی تعادل وجود دارد:

$$(0, 0, 0), \left(x_+, y_+, \frac{x_+^2}{b}\right), \left(x_-, y_-, \frac{x_-^2}{b}\right)$$

$$x_{\pm} = y_{\pm} = \frac{l_3}{2} \pm \sqrt{\frac{l_3^2 + 4b(c + l_1 + l_2 - 1)}{2}} \quad (19-1)$$

از آن جایی که  $l_3$  در ویژه مقادیر مشارکت ندارد، در نمای لیاپانوف سیستم نقش ندارد. برای ساده

شدن کنترل کننده می‌توانیم  $l_3 = 0$  قرار دهیم. پس، مشاهده می‌کنید که ثابت‌های  $l_1, l_2$ ، می‌توانند با

محاسبه ژاکوبین سیستم (17-1) در دو نقطه تعادل غیر صفر تعیین شود. برای داشتن رفتار آشوبناک،

این دو نقطه تعادل غیر صفر نمی‌توانند پایدار باشند، بنابراین، ژاکوبین باید حداقل یک ویژه مقدار ناپایدار



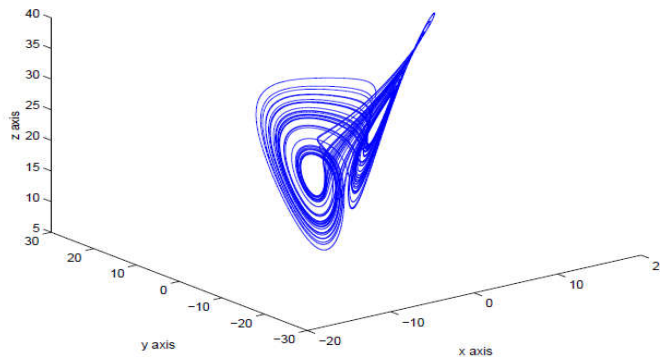
در هر یک از این دو نقطه تعادل داشته باشد. آزمون‌های آزمایشی مختلف نشان می‌دهد که کنترل کننده باید به شکل زیر ساده شود:

$$u = -cx + (c + 1)y \quad (20-1)$$

بنابراین سیستم آشوبناک جدید به صورت زیر به دست می‌آید (لو و چن، ۲۰۰۲):

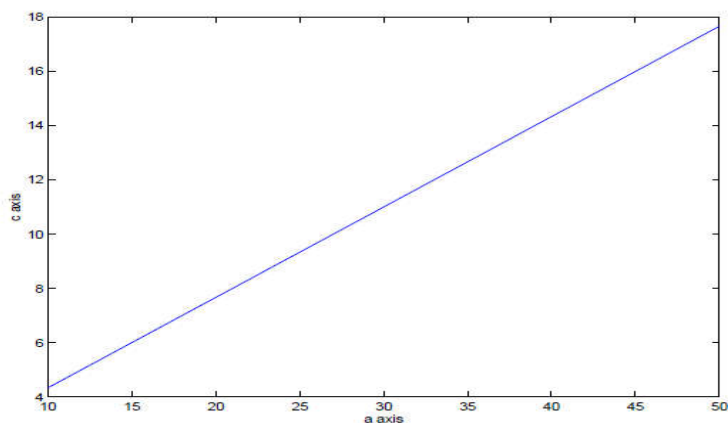
$$\begin{cases} \dot{x} = a(y - x) \\ \dot{y} = -xz + cy \\ \dot{z} = xy - bz \end{cases} \quad (21-1)$$

این سیستم به ازای مقادیر  $a = 36$ ،  $b = 3$  و  $c = 20$  جاذب آشوبناک دارد. شکل (۹-۱) نمودار فاز این جاذب آشوبناک را نمایش می‌دهد.

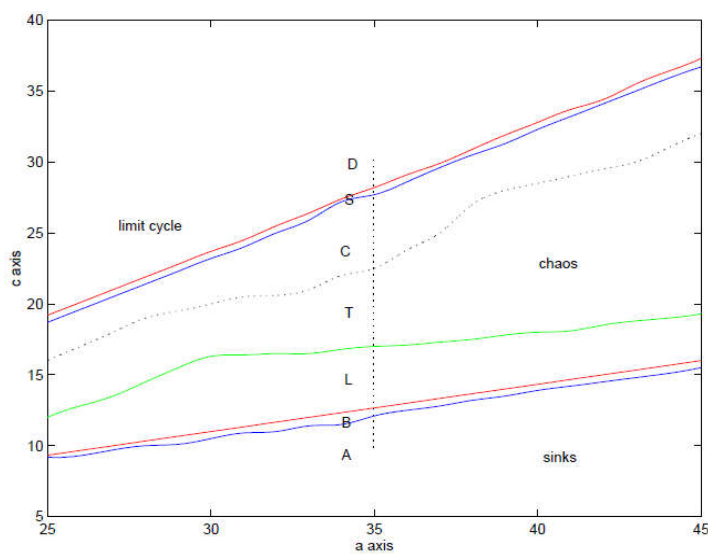


شکل ۹-۱: نمودار فاز سیستم آشوبناک لو به ازای مقادیر  $a=36$ ،  $b=3$ ،  $c=20$  (منبع: لو و همکاران، ۲۰۰۴)

در سیستم آشوبناک لو با ثابت نگه داشتن پارامتر  $b$  و تغییر دو پارامتر دیگر شاهد دوشاخه شدن پیوسته‌ی هاوف خواهیم بود که در شکل (۱۰-۱) نمایش داده شده است.



شکل ۱-۱۰: نمودار دوشاخگی پیوسته هاوف سیستم  $(1-21)$ ,  $b=3$  (منبع: لو و همکاران، ۲۰۰۲)



شکل ۱-۱۱: نمودار رفتار دینامیکی سیستم  $(1-21)$ ,  $b=3$  (منبع: لو و همکاران، ۲۰۰۲)

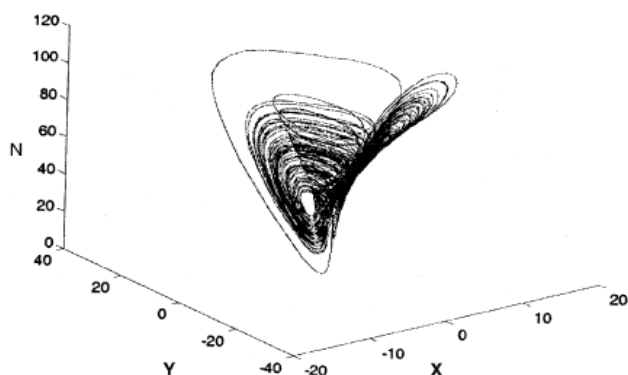
### ۱-۶-۴- سیستم لیو

لیو<sup>۱</sup> یک سیستم از معادلات دیفرانسیل مستقل سه بعدی با تنها دو جمله‌ی درجه‌ی دوم پیشنهاد داده است که مطابق زیر توصیف می‌شود:

<sup>۱</sup>- Liu

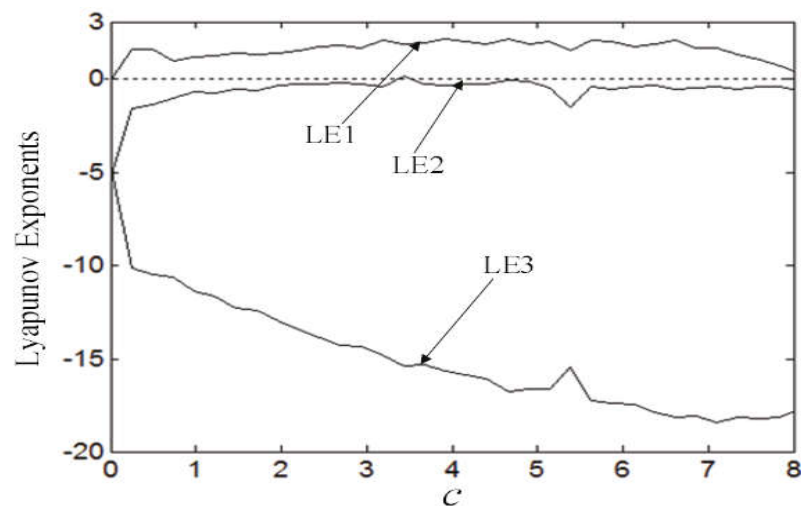
$$\begin{cases} \dot{x} = a(y - x) \\ \dot{y} = bx - kxz \\ \dot{z} = -cz + hx^2 \end{cases} \quad (22-1)$$

که  $(x, y, z) \in R^3$  متغیرهای حالت،  $(a, b, c) \in R^3$  پارامترهای حقیقی مثبت و  $c$  در یک محدوده‌ی معین تغییر می‌کند. جاذب آشوبناک به دست آمده از این سیستم بر اساس محاسبات عددی و همچنین تجزیه و تحلیل‌های تئوری یک جاذب پروانه‌ای شکل می‌باشد، که دینامیک آشوبناک پیچیده‌ای را نمایش می‌دهد. (لیو، ۲۰۰۴)

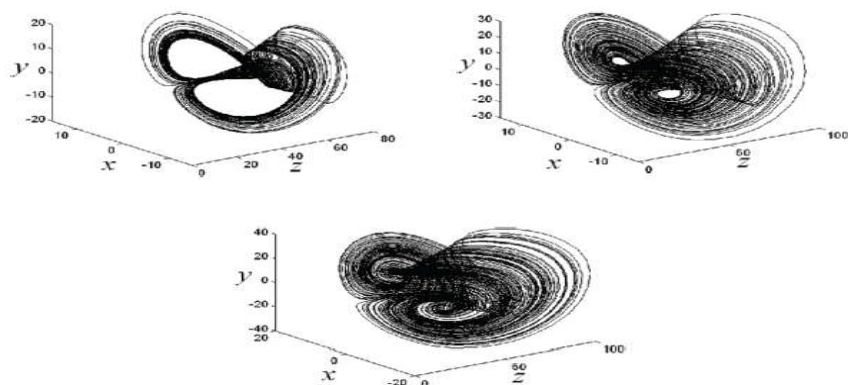


شکل ۱۲-۱: جاذب آشوبناک سیستم لیو (منبع: لیو و همکاران، ۲۰۰۴)

در سیستم لیو، هنگامی که  $c$  در یک محدوده‌ی بزرگ تغییر می‌کند سیستم حاصل می‌تواند هنوز آشوبناک باشد و رفتار پیچیده تری نسبت به سیستم لیو اصلی داشته باشد. در مقایسه با پارامترهای دیگر، پارامتر  $c$  برای استفاده در مدولاسیون پارامتر مناسب‌تر است. شکل (۱۳-۱) طیف نمای لیاپانوف سیستم (۲۲-۱) را نشان می‌دهد، هنگامی که  $c \in [0.5, 8]$  باشد، سیستم (۲۲-۱) همیشه آشوبناک است. جاذب آشوبناک سیستم لیو با  $c$  متفاوت در شکل (۱۴-۱) نشان داده شده است.



شکل ۱-۱۳: طیف نمای لیاپانوف سیستم ليو (۲۲-۱) با  $a=10, b=40, c \in [0, 8]$  (منبع: اكسو، ۲۰۱۱)



شکل ۱-۱۴: جاذب آشوبناک سیستم ليو (۲۲-۱) به ازای مقدير مختلف  $c$  (منبع: اكسو، ۲۰۱۱)

سیستم ليو یک جاذب پروانه‌ای شکل مشابه جاذب لورنتس دارد اما معادل آن نمی‌باشد. مطالعات موجود نشان داده‌اند که سیستم ليو معادل سیستم مروکا-شیمیزو<sup>۱</sup> است و یک مثال نشان دهنده‌ی جاذب آشوبناک می‌باشد.

<sup>۱</sup> - shimizu-morioka

Family name: Maghsoudi Velni	Name: Narjes
Title of Thesi: Application of synchronized chaotic pair-coupled maps in cryptography	
Supervisor: Sodeif Ahadpour Kalkhoran (Ph.D)	
Graduate Degree <b>M.Sc.</b>	
Major: Physics	Specialty: Funddamental Physic
University: <b>Mohaghegh Ardabili</b>	Faculty: Basic sciences
Graduation date: Sep 2016	Number of pages: 102
<p>Abstract :</p> <p>Synchronization of chaos refers to a process wherein two (or many) chaotic systems (either equivalent or nonequivalent) adjust a given property of their motion to a common behavior due to a coupling or to a forcing. Chaos synchronization has changed the approach of communication, it works as a whole cryptosystem. Synchronization of coupled chaotic systems has become an integral part of cryptography. It allows effectively fast modes of communication as it works in the physical layer of the transmission system. Chaos based cryptography fully exploits the characteristics of chaotic dynamics, vs. determinism, ergodicity, sensitive dependence on initial conditions, randomness, a strong dependence on any minimal variation of any parameter of the system. Chaotic cryptography has advantages compared to traditional cryptography, including applicable for high-volume data and the ability to implement in hardware and software, low cost and speed is impressive. One goal of this study is to introduce methods of using the synchronized chaotic pair-coupled maps in cryptography to enhance security.</p>	
<b>Keywords:</b> chaos, cryptography, pair- coupled maps, synchronization.	



**University of Mohaghegh Ardabili**  
**Faculty of Sciences**  
**Department of Physic**

**Thesis is approved for the degree of M.Sc.**  
**In Physics**

Title:

**Application Of Synchronized Chaotic Pair-Coupled Maps In  
Cryptography**

Supervisor:

**Sodeif Ahadpour Kalkhoran (Ph.D)**

By:

**Narjes Maghsoudi Velni**

**Summer 2016**